$$\begin{cases} I[P(x, u)] = \max, \\ \sum_{u} P(x, u) = P(x). \end{cases}$$

С использованием метода неопределенных множителей Лагранжа можно показать, что должно быть P(x, 1) = 0 или 1, т. е. решение можно найти перебором из 2^{MN} возможных алгоритмов. Моделирование показало, что для функции информативности вида $I(x, 1) = n_j$, I(x, 0) = 0 и функции штрафов $C(x, 1) = c_1 \sum_i \widehat{\mu}_i + c_2 \sum_i \widehat{\tau}_i + c_3$, $C(x, 0) = c_0$, где

 $\widehat{\mu_i}$, $\widehat{\tau_i}$ — номера каналов, в которые попали значения μ_i , τ_i , c_i , $i=\overline{0,3}$ — постоянные величины, выигрыш по времени эксперимента при использовании оптимального алгоритма для интенсивных первичного и вторичного потоков может достигать десятков процентов по сравнению со случаем P(x,1) = P(x).

Измерительная система с оптимизацией по времени накопления информации должна включать в себя блок отбора поступающих на вход реализаций в соответствии с заданным алгоритмом P(x, 1). Отбор реализаций должен вестись по наборам чисел (m_j, n_j) импульсов в диапазонах 1 и 2 для данной реализации с номером j.

Список литературы

- 1. Дьяченко П. П., Нестеренко В. С., Пиксайкин В. М.//Приборы и техника эксперимента. 1981. № 3. С. 95.
- 2. Демчук М. И., Иванов М. А. Статистический одноквантовый метод в оптико-физическом эксперименте. Минск, 1981.
 - 3. Закс Ш. Теория статистических выводов. М., 1975.
 - 4. Соболь И. М. Численные методы Монте-Карло. М., 1973.

Поступила в редакцию 15.02.85.

УДК 621.315.592

М. С. КАМАРА, М. Г. ЛУКАШЕВИЧ

ВЛИЯНИЕ ЭЛЕКТРИЧЕСКОГО ПОЛЯ НА МАГНИТОРЕЗИСТИВНЫЙ ЭФФЕКТ В ГЕРМАНИИ ПРИ НИЗКИХ ТЕМПЕРАТУРАХ

При низких температурах на вольтамперных характеристиках (ВАХ) однородных полупроводников наблюдается отклонение от закона Ома, которое может вызываться разогревом электронного газа, уменьшением рекомбинации в электрическом поле, примесным пробоем и т. д. Увеличение концентрации свободных носителей заряда в образце или их подвижности под действием электрического поля приводит к изменению величины и характера магниторезистивного эффекта. Можно ожидать, что изменение магнитосопротивления (МС) будет зависеть как от механизма появления магниторезистивного эффекта, так и от механизма изменения проводимости кристалла в электрическом поле. Однако влияние электрического поля на магниторезистивный эффект исследовано только в области отрицательного МС арсенида галлия при разогреве [1] и увеличении концентрации свободных носителей заряда [2] в условиях примесного пробоя. В то же время при $T=4,2~{
m K}$ в германии MC может быть положительным, а изменение проводимости в электрическом поле вызывается уменьшением рекомбинации носителей заряда [3].

В данной работе изучено влияние электрического поля на велич<mark>ину</mark> и характер магниторезистивного эффекта в германии *п-*типа при T=4,2 К. Исследовались электро- и магнитополевые зависимости (до 15 кЭ) поперечного МС нелегированных и легированных сурьмой кристаллов германия. Образцы вырезались в виде параллелепипедов с отношением длины к ширине не менее десяти. Концентрация примеси изменялась от $6\cdot 10^{13}$ до 10^{18} см $^{-3}$, что при 4,2 К позволяло реализовать проводимость по C-зоне (слабо ($N_d \leqslant 10^{15}$ см $^{-3}$) и сильно $N_d > 10^{17}$ см $^{-3}$) легированные образцы) и проводимость по примесным состояниям ($10^{15} \leqslant N_d \leqslant 10^{16}$ см $^{-3}$). Измерения проводились на постоянном токе при непосредственном погружении образцов в жидкий гелий. Выделяемая в образцах мощность не приводила к перегреву и нарушению теплового контакта с жидким гелием.

ВАХ слабо и промежуточно легированных образцов при $E=E_{\rm II}$ ($E_{\rm II}$ — напряженность поля примесного пробоя) имеет характерный участок резкого возрастания тока, обусловленный ударной ионизацией мелких доноров. В предпробойных полях проводимость σ монотонно возрастает $\sigma \sim E^{1,5-2}$, что, согласно [3], вызывается уменьшением рекомбинации в электрическом поле. В послепробойном электрическом поле $E > E_{\rm II}$ закон Ома обычно выполняется до полей, в которых наступает перегрев

образца. Типичная ВАХ показана на вставке рис. 1.

При изучении МС слабо и промежуточно легированных кристаллов установлено, что на величину и характер его магнитополевой зависимости влияет приложен-<mark>ное к образцу электрическое</mark> поле. Так, для слабо легированных образцов, как видно **из рис.** 2 (кривые 1, 2), в допробойном электрическом поле ($E < E_{\pi}$) МС увеличивается и с ростом напряженности магнитного поля стремится к насыщению. В электрическом поле $E > E_{\pi}$ MC квадратично зависит от магнитного поля до критической напряженности магнитного

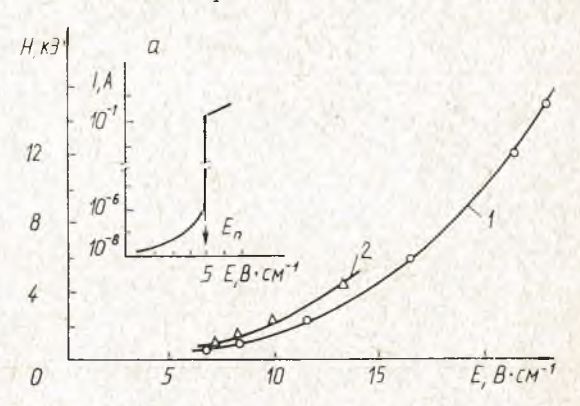


Рис. 1. Зависимость критической напряженности магнитного поля от электрического для двух образцов N_d , см $^{-3}$ $I-1.4\cdot 10^{14}$; $2-2\cdot 10^{14}$; a- типичная ВАХ

поля $H_{\rm K}$, в котором MC резко возрастает (кривые 3-6). Такой рост MC при $H=H_{\rm K}$ можно объяснить в рамках предложенного нами механизма изменения в электрическом поле отрицательного MC арсенида галлия [2], как результат перераспределения электронов между уровнем мелкого донора и зоной проводимости из-за одновременного действия электрического (разогрев электронного газа) и магнитного (охлаждение) полей. Вследствие охлаждения электронов в зоне проводимости магнитным полем прекращается процесс генерации носителей с примесных уровней (срыв пробоя), и MC резко возрастает. Сравнение величины изменения проводимости при $E=E_{\rm II}$ с ее изменением при $H=H_{\rm K}$ показывает, что они согласуются между собой. Отметим, что при $E>E_{\rm II}$ и $H>H_{\rm K}$ MC монотонно возрастает, а характер магнитополевой зависимости из-за отсутствия неравновесных носителей в зоне проводимости близок к наблюдаемому при $E<E_{\rm II}$. Характерно, что для неравновесного случая $E>E_{\rm II}$ и $H<H_{\rm K}$ MC также хорошо описывается зависимостью $\Delta \rho \sim H^2$.

При $E > E_{\pi}$ на магнитополевых зависимостях МС со срывом примесного пробоя наблюдается несовпадение хода МС при увеличении уменьшении напряженности магнитного поля, проявляющееся в несовпадении критической величины магнитного поля срыва пробоя (см. рис. 2, кривая 6). В рамках рассматриваемой модели наблюдаемый гистерезисный эффект при измерении МС в режиме генератора напряжения

можно объяснить наличием двух устойчивых (равновесное при $E < E_{\pi}$ и неравновесное при $E > E_{\pi}$) и промежуточного неустойчивого состояний, которые характеризуются разными величинами концентрации носителей заряда и их подвижности. Ранее гистерезисный эффект в легированном сурьмой германии наблюдался в области ϵ_2 проводимости [4] и был связан с наличием потенциальных барьеров, отделяющих локализованные состояния от делокализованных.

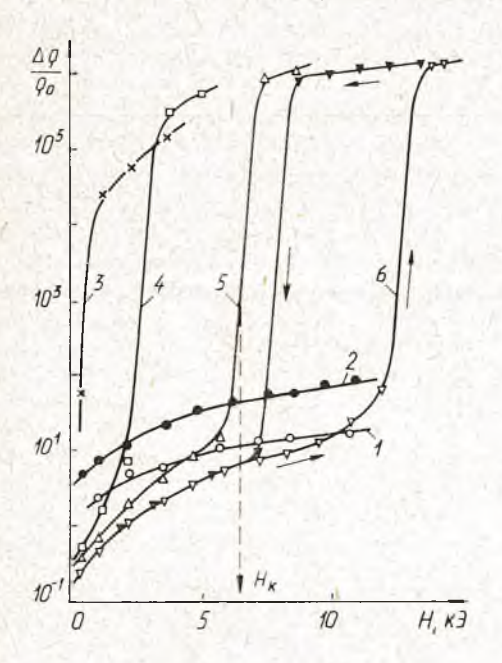


Рис. 2. Магнитополевая зависимость МС образца с N_d =1,1 \cdot 10¹⁴ см⁻³ при разных напряженностях электрического поля E, В \cdot см¹⁻:

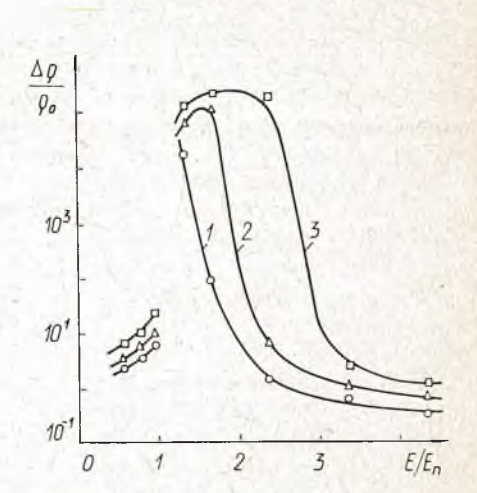


Рис. 3. Зависимость МС слабо легированных образцов от электрического поля H, к Θ :

1-1; 2-2; 3-3

Как и можно было ожидать, с увеличением приложенного к образцу электрического поля в послепробойной области разогрев носителей и, следовательно, напряженность критического магнитного поля срыва пробоя возрастают.

Наличие срыва примесного пробоя в критическом магнитном поле, величина которого зависит от электрического поля (для двух образцов см. рис. 1), приводит к аномальной электрополевой зависимости МС. На рис. 3 показана электрополевая зависимость МС при трех напряженностях магнитного поля. Видно, что с ростом электрического поля величина МС увеличивается и достигает максимальной величины в электрическом поле, превышающем поле пробоя. С дальнейшим увеличением электрического поля МС уменьшается из-за отсутствия срыва пробоя в сильном электрическом поле. Возрастание проводимости в предпробойных полях обусловлено уменьшением рекомбинации в электрическом поле [3], следовательно, рост МС в этих полях вызывается появлением дополнительных неравновесных носителей другого сорта в зоне проводимости по сравнению с равновесным случаем. Как известно [5], появление носителей другого сорта, хотя и одного знака, приводит к повышению магнитосопротивления.

В промежуточно легированных образцах $10^{15} < N_d < 10^{16}$ см $^{-3}$ при 4,2 К преобладает проводимость по примесям [6]. Вместе с тем экспоненциальной магнитополевой зависимости, характерной для прыжкового механизма проводимости, в допробойном электрическом поле не наблю-

дается. Характерные магнитополевые зависимости при разных напряженностях электрического поля показаны на рис. 4. В электрическом поле $E > E_{\pi}$ величина МС возрастает (кривые 3, 4), а характер магнитополевой зависимости практически не меняется. Отличительной особенностью МС таких образцов при $E \geqslant E_{\pi}$ является резкое увеличение МС в слабом магнитном поле (H < 2 кЭ). Это приводит к тому, что при H > 2 кЭ МС монотонно увеличивается с ростом электрического поля (рис. 5, кривые 1, 2). При этом в слабых магнитных полях при $E > E_{\pi}$

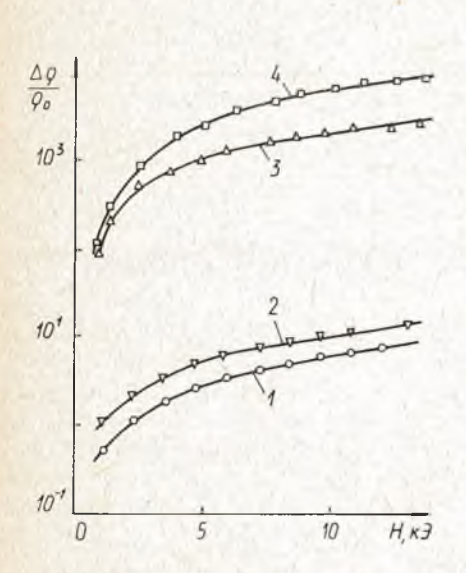


Рис. 4. Магнитополевая зависимость МС образца с $N_d = 2 \cdot 10^{15}$ см $^{-3}$ при разных напряженностях электрического поля E, $\mathbf{B} \cdot \mathbf{cm}^{-1}$:

1-0.8; 2-5; 3-13.3; 4-16.6; $E_{\Pi}=8$ B · cm⁻¹

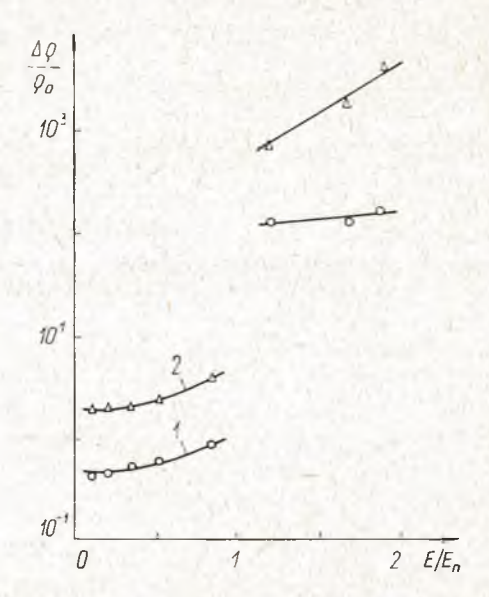


Рис. 5. Зависимость MC образца с $N_a = 2 \cdot 10^{15}$ см $^{-3}$ от электрического поля H, к \ni :

МС слабо зависит от электрического поля (кривая 1), в то время как в сильном магнитном поле (кривая 2) МС увеличивается. В слабом магнитном поле происходит только локализация электронов на примесные уровни, в то время как сильное магнитное поле приводит не только к срыву примесного пробоя, но и к возрастанию скорости рекомбинации из-за охлаждения электронного газа и, таким образом, к увеличению МС в сильных электрическом и магнитном полях.

Различие в характере магнитополевой зависимости МС для слабо и промежуточно легированных кристаллов может быть связано с различием в ширине донорной зоны. Для случая промежуточного легирования ширина примесной зоны $\Delta W \sim kT$ и, следовательно, ионизация нейтральных атомов примеси в электрическом поле и захват электронов на примесные уровни в магнитном поле имеют более плавную зависимость этих параметров от электрического и магнитного полей. Это приводит к малой величине критической напряженности магнитного поля и монотонной электронолевой зависимости МС при H > 2 кЭ.

С повышением концентрации примеси $N_d > 10^{17}$ см⁻³ примесная зона сливается с зоной проводимости, и особенностей на ВАХ не наблюдается. Магнитосопротивление при этом становится отрицательным и практически не зависящим от электрического поля.

Авторы благодарят Н. Ф. Голубева за предоставление образцов германия и В. Ф. Стельмаха за полезные дискуссии при обсуждении результатов эксперимента.

Список литературы

1. Вул Б. М., Котельникова Н. В., Заварицкая Э. И., Воронова И. Д.// Физика и техника полупроводников. 1977. Т. 11. № 3. С. 573.
2. Kamara M. S., Lukashevich M. G., Stelmakh V. F.// Phys. Stat. Sol. (a).

2. Қайпата М. S., Ейказпечтен М. С., Осетиван Т. Т., 1984. V. 84. № 2. Р. 613.

3. Заварицкая Э. М.// Труды ордена Ленина Физического института имени П. Н. Лебедева АН СССР. 1966. Т. 37. С. 41.

4. Матвеев Г. А., Соколов В. И., Цидильковский И. М., Шелутинина Н. Г.// Физика и техника полупроводников. 1975. Т. 9. № 9. С. 1674.

5. Киреев П. С. Физика полупроводников. М., 1975. С. 583.

6. Fritzsche H.// J. Phys. Chem. Sol. 1958. V. 6. P. 69.

Поступила в редакцию 25.02.85.

УДК 539.1

В. Г. БАРЫШЕВСКИЙ, С. В. ЧЕРЕПИЦА

АНОМАЛЬНЫЙ СЛУЧАЙ ДИНАМИЧЕСКОЙ ДИФРАКЦИИ НЕЙТРОНОВ В ПРИСУТСТВИИ ВНЕШНЕГО МАГНИТНОГО ПОЛЯ

Рассмотрим влияние внешнего постоянного магнитного поля напряженностью H на дифракцию нейтронов в аномальном случае, когда дифрагировавшая волна составляет угол с поверхностью кристалла, сравнимый с углом полного внешнего отражения. Система динамических уравнений, описывающая дифракцию нейтронов в кристалле, в двухволновом приближении имеет следующий вид [1-3]:

$$\begin{pmatrix}
\frac{k^{2}}{k_{0}^{2}} - 1 - g_{\sigma}(0) & -g(-\tau) \\
-g(\tau) & \frac{\vec{(k} + 2\pi\vec{\tau})}{k_{0}^{2}} - 1 - g_{\sigma}(0)
\end{pmatrix}
\begin{pmatrix}
\varphi_{\sigma}(\vec{k}) \\
\varphi_{\sigma}(\vec{k} + 2\pi\vec{\tau})
\end{pmatrix} = 0, \quad (1)$$

$$g_{\sigma}(0) = g(0) + (\sigma) - \frac{2m\mu}{\hbar^2 k_0^2} H,$$
 (2)

где k и $k + 2\pi\tau$, $\varphi(k)$ и $\varphi(k + 2\pi\tau)$ — волновые векторы и спектральные амплитуды первичной и дифрагировавшей волны; 2πτ — вектор обратной решетки кристалла; $g(\tau)$ — структурная амплитуда; $\overrightarrow{k_0}$ — волновой вектор падающих нейтронов; m и μ — масса и магнитный момент нейтрона соответственно; $\sigma = +(-)$ (знак +(-) соответствует поляризационному состоянию нейтрона со спином, параллельным (антипараллельным) магнитному полю).

Дисперсионное уравнение, которое получается приравниванием детерминанта (1) к нулю с учетом условий непрерывности тангенциальных компонент волновых векторов на поверхности кристалла,

$$\vec{k} = \vec{k}_0 + k_0 \vec{\epsilon} \vec{n} \text{ if } \vec{k}_{\tau} = \vec{k}_0 + 2\pi \tau + k_0 \vec{\epsilon} \vec{n},$$
 (3)

может быть представлено в следующем виде:

$$\varepsilon^4 + B\varepsilon^3 + C\varepsilon^2 + D\varepsilon + E = 0, \tag{4}$$

где

$$B = 2\gamma_0, \ C = 4\gamma_0\gamma_1, \ D = 2\gamma_0(\alpha - g_{\sigma}(0)),$$
 (5)

$$E = g_{\sigma}^{2}(0) - \alpha g_{\sigma}(0) - g(\tau) g(-\tau), \tag{6}$$

$$\gamma_0 = \frac{\vec{k_0} \cdot \vec{n}}{k_0}, \quad \gamma_1 = \frac{(\vec{k_0} + 2\vec{\pi}\vec{\tau}) \cdot \vec{n}}{k_0}, \quad \alpha = \frac{2\vec{\pi}\vec{\tau} \cdot (2\vec{\pi}\vec{\tau} + 2\vec{k_0})}{k_0^2}$$
(7)

и п — единичный вектор нормали к поверхности кристалла.